2 ИЗЧИЧИТЬ ПИР ЧРЅПРВЯПРОТОРР ИЧИЧЕНТРИЗЕ SEQUENCE Р ИЗВЕСТИЯ АКАДЕМИИ НАУК АРМЯНСКОЙ ССР

\$- фирминациональной при при на нарадний при при на нарадний при нарадний при нарадний нарадний при нарадний н

ТЕОРИЯ УПРУГОСТИ

С. М. Дургарьян

Осесимметричная температурная задача ортотропной круглой пластинки

§ 1. Вывод основных уравнений

Рассмотрим осесимметричную задачу многослойной круглой пластинки, собранной из произвольного числа однородных ортотропных слоев с цилиндрической анизотропией.

Предполагается, что ось анизотропии совпадает с геометрической осью цилиндрического пакета пластинки.

Задача решается в цилиндрической системе координат r, θ и z. Ось z направлена по оси анизотропии, координатная плоскость z=0 совмещена с верхним основанием недеформированного пакета, а полярная ось, от которой отсчитывается угол θ , в плоскости z=0 располагается произвольно (фиг. 1).

Модули Юнга, коэффициенты Пуассона и температурного расширения принимаются зависящими от температуры нагрева, в последняя считается известной функцией координат точки (r, z).

В основу дальнейших ныкладок кладутся гипотеза Франца Неймана и гипотеза недеформируемых нормалей.

На основании гипотезы недеформируемых нормалей, преВ M(z, θ)

небрегая напряженнями с, по сравнению с напряжениями с, и с [1], можно принять

$$e_z = e_{rz} = e_{0z} = 0,$$

 $\sigma_z = 0.$ (1.1)

Из известных соотношений между компонентами перемещения и компонентами деформации в цилиндрической системе координат [4], с учегом (1.1) и осесимметричности задачи, получатся следующие значения компонентов деформации

5 Известия АН, серия фил.-мат. паук, № 3

$$e_r = \frac{du}{dr} - z \frac{d^2w}{dr^2}, \quad e_{\theta} = \frac{u}{r} - \frac{z}{r} \frac{dw}{dr}, \quad e_z = 0,$$

 $e_{r\theta} = e_{rz} = e_{\theta z} = 0,$ (1.2)

и компонентов перемещения

$$u_r = u - z \frac{dw}{dr}, \quad u_i = 0, \quad u_z = w,$$
 (1.3)

где u и w означают соответственно радиальное перемещение и прогиб точек, расположенных на координатной плоскости z=0.

Из обобщенного закона Гука [1], записанного для m - го слоя пластинки [2],

$$\begin{split} e_r^{(m)} &= a_{11}^{(m)} \, \sigma_r^{(m)} + a_{12}^{(m)} \, \sigma_{\theta}^{(m)} + a_{13}^{(m)} \, \sigma_{\varepsilon}^{(m)} + \beta_r^{(m)} \, T, \\ e_{\theta}^{(m)} &= a_{12}^{(m)} \, \sigma_r^{(m)} + a_{22}^{(m)} \, \sigma_{\theta}^{(m)} + a_{23}^{(m)} \, \sigma_{\varepsilon}^{(m)} + \beta_{\theta}^{(m)} \, T, \\ e_{\varepsilon}^{(m)} &= a_{13}^{(m)} \, \sigma_r^{(m)} + a_{23}^{(m)} \, \sigma_{\theta}^{(m)} + a_{33}^{(m)} \, \sigma_{\varepsilon}^{(m)} + \beta_{\varepsilon}^{(m)} \, T, \\ e_{\theta_{\varepsilon}^{(m)}} &= a_{44}^{(m)} \, \sigma_{\theta_{\varepsilon}^{(m)}}^{(m)}, \, e_{\varepsilon_{\varepsilon}^{(m)}}^{(m)} &= a_{85}^{(m)} \, \sigma_{\varepsilon_{\theta}^{(m)}}^{(m)}, \, e_{\theta_{\varepsilon}^{(m)}}^{(m)} = a_{65}^{(m)} \, \sigma_{\varepsilon_{\theta}^{(m)}}^{(m)}. \end{split}$$

[где $\beta_r^{(m)}(T)$, $\beta_\theta^{(m)}(T)$, $\beta_z^{(m)}(T)$ — коэффициенты температурного расширения соответственно вдоль осей r, θ и z, а T(r, z) — температура в данной точке пластинки], учитывая (1.3), можно получить

$$\begin{split} z_r^{(m)} &= B_{11}^{(m)} \left(\frac{du}{dz} - z \frac{d^2w}{dr^2} \right) + B_{12}^{(m)} \left(\frac{u}{r} - \frac{z}{r} \frac{dw}{dr} \right) + Q_1^{(m)} T, \\ z_0^{(m)} &= B_{22}^{(m)} \left(\frac{u}{r} - \frac{z}{r} \frac{dw}{dr} \right) + B_{12}^{(m)} \left(\frac{du}{dr} - z \frac{d^2w}{dr^2} \right) + Q_2^{(m)} T, \\ z_{rb}^{(m)} &= 0, \end{split}$$
(1.4)

где

$$B_{11}^{(m)}(T) = \frac{a_{22}^{(m)}}{a_{11}^{(m)}a_{22}^{(m)} - [a_{12}^{(m)}]^2} = \frac{E_r^{(m)}}{1 - \mu_1^{(m)}\mu_2^{(m)}},$$

$$B_{22}^{(m)}(T) = \frac{a_{11}^{(m)}}{a_{11}^{(m)}a_{22}^{(m)} - [a_{12}^{(m)}]^2} = \frac{E_{\theta}^{(m)}}{1 - \mu_1^{(m)}\mu_2^{(m)}},$$

$$B_{12}^{(m)}(T) = -\frac{a_{12}^{(m)}}{a_{11}^{(m)}a_{22}^{(m)} - [a_{12}^{(m)}]^2} = \frac{E_r^{(m)}\mu_2^{(m)}}{1 - \mu_1^{(m)}\mu_2^{(m)}} - \frac{E_{\theta}^{(m)}\mu_1^{(m)}}{1 - \mu_1^{(m)}\mu_2^{(m)}},$$

$$Q_1^{(m)}(T) = \frac{a_{12}^{(m)}\beta_0^{(m)} - a_{22}^{(m)}\beta_r^{(m)}}{a_{11}^{(m)}a_{22}^{(m)} - [a_{12}^{(m)}]^2} = -B_{12}^{(m)}\beta_0^{(m)} - B_{11}^{(m)}\beta_r^{(m)} =$$

$$= -\frac{E_r^{(m)}}{1 - \mu_1^{(m)}\mu_2^{(m)}} [\beta_r^{(m)} + \mu_2^{(m)}\beta_0^{(m)}],$$

$$Q_2^{(m)}(T) = \frac{-a_{11}^{(m)}\beta_0^{(m)} + a_{12}^{(m)}\beta_r^{(m)}}{a_{11}^{(m)}a_{22}^{(m)} - [a_{12}^{(m)}]^2} = -B_{22}^{(m)}\beta_0^{(m)} - B_{12}^{(m)}\beta_r^{(m)} =$$

$$= -\frac{E_{\theta}^{(m)}}{a_{11}^{(m)}a_{22}^{(m)} - [a_{12}^{(m)}]^2} = -B_{22}^{(m)}\beta_0^{(m)} + \beta_0^{(m)}\beta_r^{(m)} + \beta_0^{(m)}\beta_r^{(m)} =$$

$$= -\frac{E_{\theta}^{(m)}}{1 - \mu_1^{(m)}\mu_2^{(m)}} [\mu_1^{(m)}\beta_r^{(m)} + \beta_0^{(m)}].$$

Перейдя от напряжений к внутренним усилиям и моментам

$$T_{r} = \sum_{m=1}^{n} \int_{h_{m-1}}^{h_{m}} \sigma_{r}^{(m)} dz = C_{11} \frac{du}{dr} + C_{12} \frac{u}{r} - K_{11} \frac{d^{2}w}{dr^{2}} - K_{12} \frac{1}{r} \frac{dw}{dr} + C_{1r},$$

$$T_{0} = \sum_{m=1}^{n} \int_{h_{m-1}}^{h_{m}} \sigma_{h}^{(m)} dz = C_{12} \frac{du}{dr} + C_{22} \frac{u}{r} - K_{12} \frac{d^{2}w}{dr^{2}} - K_{22} \frac{1}{r} \frac{dw}{dr} + C_{2r},$$

$$S_{rh} = 0,$$

$$M_{r} = \sum_{m=1}^{n} \int_{h_{m-1}}^{h_{m}} \sigma_{r}^{(m)} z dz = K_{11} \frac{du}{dr} + K_{12} \frac{u}{r} - D_{11} \frac{d^{2}w}{dr^{2}} - D_{12} \frac{1}{r} \frac{dw}{dr} + K_{1r},$$

$$M_{h} = \sum_{m=1}^{n} \int_{h_{m-1}}^{h_{m}} \sigma_{h}^{(m)} z dz = K_{12} \frac{du}{dr} + K_{22} \frac{u}{r} - D_{12} \frac{d^{2}w}{dr^{2}} - D_{22} \frac{1}{r} \frac{dw}{dr} + K_{2r},$$

$$M_{h} = 0,$$

$$M_{h} =$$

$$G_{ij} = \sum_{m=1}^{n} \int_{h_{m-1}}^{h_{m}} B_{ij}^{(m)} dz, \quad K_{ij} = \sum_{m=1}^{n} \int_{h_{m-1}}^{h_{m}} B_{ij}^{(m)} z dz, \quad D_{ij} = \sum_{m=1}^{n} \int_{h_{m-1}}^{h_{m}} B_{ij}^{(m)} z^{2} dz,$$

$$C_{iT} = \sum_{m=1}^{n} \int_{h_{m-1}}^{h_{m}} Q_{i}^{(m)} T dz, \quad K_{iT} = \sum_{m=1}^{n} \int_{h_{m-1}}^{h_{m}} Q_{i}^{(m)} T z dz$$

$$(1.7)$$

(п — число слоев в пакете) и внеся (1.6) в уравнения равновесия [5], [6]

$$\frac{dT_r}{dr} + \frac{T_r - T_\theta}{r} = 0,$$

$$rN_r = C_\theta^*,$$

$$\frac{dM_r}{dr} + \frac{M_r - M_\theta}{r} = N_r,$$
(1.8)

в самом общем случае задачу можно свести к интегрированию следующей системы дифференциальных уравнений с переменными коэффициентами:

[&]quot; Легко заметить, что постоянная C_n может быть отлична от нуля только в случае пластинки с отверствем посередние (в случае пластинки с двухсвязным контуром), у которой и по внешнему контуру и по впутреннему контуру граничные условия не содержат требования о равенстве пулю поперечной силы.

$$C_{11}\frac{d^{2}u}{dr^{2}} + \left(\frac{dC_{11}}{dr} + \frac{C_{11}}{r}\right)\frac{du}{dr} + \left(\frac{dC_{12}}{dr} - \frac{C_{22}}{r}\right)\frac{u}{r} - \\
-K_{11}\frac{d^{3}w}{dr^{3}} - \left(\frac{dK_{11}}{dr} + \frac{K_{11}}{r}\right)\frac{d^{2}w}{dr^{2}} - \frac{1}{r}\left(\frac{dK_{12}}{dr} - \frac{K_{22}}{r}\right)\frac{dw}{dr} = \\
= \frac{C_{2T} - C_{1T}}{r} - \frac{dC_{1T}}{dr}, \\
K_{11}\frac{d^{2}u}{dr^{2}} + \left(\frac{dK_{11}}{dr} + \frac{K_{11}}{r}\right)\frac{du}{dr} + \left(\frac{dK_{12}}{dr} - \frac{K_{22}}{r}\right)\frac{u}{r} - \\
-D_{11}\frac{d^{3}w}{dr^{3}} - \left(\frac{dD_{11}}{dr} + \frac{D_{11}}{r}\right)\frac{d^{2}w}{dr^{2}} - \frac{1}{r}\left(\frac{dD_{12}}{dr} - \frac{D_{22}}{r}\right)\frac{dw}{dr} = \\
= N_{r} + \frac{K_{2T} - K_{1T}}{r} - \frac{dK_{1T}}{dr},$$
(1.9)

§ 2. Случай, когда температура вдоль радиуса постоянна, а по толщине пакета изменяется по произвольному закону

В рассматриваемом случае $B_{if}^{(m)}$, $Q_i^{(m)}$ и T являются функциями только координаты z, следовательно C_{if} , K_{if} , D_{if} , C_{iT} и K_{iT} суть постоянные. Это обстоятельство позволит упростить систему (1.9) и привести ее к виду

$$\left(C_{11}r^{2}\frac{d^{2}}{dr^{2}}+C_{11}r\frac{d}{dr}-C_{22}\right)u-\left(K_{11}r^{2}\frac{d^{3}}{dr^{3}}+K_{11}r\frac{d^{2}}{dr^{2}}-K_{22}\frac{d}{dr}\right)w=
=r\left(C_{2T}-C_{1T}\right),
\left(K_{11}r^{2}\frac{d^{2}}{dr^{2}}+K_{11}r\frac{d}{dr}-K_{22}\right)u-\left(D_{11}r^{2}\frac{d^{3}}{dr^{3}}+D_{11}r\frac{d^{2}}{dr^{2}}-D_{22}\frac{d}{dr}\right)w=
=rC_{6}+r\left(K_{2T}-K_{1T}\right).$$
(2.1)

Нетрудно заметить, что при выполнении условий

$$K_{11}=K_{22}=0$$
 или $\frac{C_{22}}{C_{11}}=\frac{K_{22}}{K_{11}}=\frac{D_{22}}{D_{11}}=$ у или $K_{11}^2-C_{11}D_{11}=0$

происходит разделение переменных и однородная система, соответствующая системе (2.1), приводится к двум уравнениям типа

$$\left(r^{2} \frac{d^{2}}{dr^{2}} + r \frac{d}{dr} - q\right) u = 0,
\left(r^{2} \frac{d^{3}}{dr^{3}} + r \frac{d^{2}}{dr^{2}} - q \frac{d}{dr}\right) w = 0.$$
(2.2)

Для конкретности в дальнейшем предполагается, что

$$K_{11}^2 - C_{11}D_{11} \neq 0$$
.

Ниже приводится общий интеграл однородной системы, соответствующей системе (2.1).

$$u = \frac{K_{11}m_1 - K_{22}}{C_{11}m_1 - C_{22}} \left(C_1 r^{\sqrt{m_1}} + C_2 r^{-\sqrt{m_1}} \right) + \frac{K_{11}m_2 - K_{22}}{C_{11}m_2 - C_{22}} \left(C_3 r^{\sqrt{m_2}} + C_4 r^{-\sqrt{m_2}} \right)$$

$$w^0 = \frac{C_1}{1 + \sqrt{m_1}} r^{1 + \sqrt{m_1}} + \frac{C_2}{1 - \sqrt{m_1}} r^{1 - \sqrt{m_1}} + \frac{C_3}{1 + \sqrt{m_2}} r^{1 + \sqrt{m_2}} + \frac{C_4}{1 - \sqrt{m_2}} r^{1 - \sqrt{m_2}} + C_5.$$

$$(2.3)$$

тде C_1 , C_2 , C_3 , C_4 и C_5 — постоянные интегрирования, определяемые из граничных условий задачи, а m_1 и m_2 — корни характеристического уравнения

 $(C_{11}D_{11} - K_{11}^2) m^3 - (C_{10}D_{11} + C_{11}D_{10} - 2K_{11}K_{20}) m + C_{20}D_{20} - K_{22}^2 = 0, (2.5)$ равные

$$m_{1,2} = \frac{C_{22}D_{11} + C_{11}D_{22} - 2K_{11}K_{22}}{2(C_{11}D_{11} - K_{11}^2)} \pm \frac{V(C_{22}D_{11} - C_{11}D_{22})^2 + 4(C_{11}K_{22} - C_{22}K_{11})(K_{22}D_{11} - K_{11}D_{22})}{2(C_{11}D_{11} - K_{11}^2)}.$$
 (2.6)

В частных случаях (2.6), (2.3) и (2.4) примут вид

а) при

a) при
$$\frac{C_{22}}{C_{11}} = \frac{K_{22}}{K_{11}} \neq \frac{D_{22}}{D_{41}}$$

$$m_1 = \frac{C_{11}^2 D_{22} - C_{22} K_{11}^2}{C_{11} (C_{11} D_{11} - K_{11}^2)}, \quad m_2 = \frac{C_{22}}{C_{11}} = \frac{K_{22}}{K_{11}} = v,$$

$$u^{\circ} = \frac{K_{11}}{C_{11}} C_1 r^{V \overline{m_1}} + \frac{K_{11}}{C_{11}} C_2 r^{-V \overline{m_1}} + C_3 r^{V \overline{v}} + C_4 r^{-V \overline{v}},$$

$$w^{\circ} = \frac{C_1}{1 + V m_1} r^{1 + V m_1} + \frac{C_2}{1 - V m_1} r^{1 - V m_1} + C_8;$$

$$(2.7)$$

6) при
$$\frac{C_{22}}{C_{11}} \neq \frac{K_{22}}{K_{11}} = \frac{D_{22}}{D_{11}},$$

$$m_1 = \frac{K_{22}}{K_{11}} = \frac{D_{22}}{D_{11}} = \gamma, \quad m_2 = \frac{C_{22}D_{11}^2 - D_{22}K_{11}^2}{D_{11}(C_{11}D_{11} - K_{11}^2)},$$

$$u' = \frac{D_{11}}{K_{11}}C_3r^{\sqrt{m_2}} + \frac{D_{11}}{K_{11}}C_4r^{-\sqrt{m_2}},$$

$$w^0 = \frac{C_1}{1 + \sqrt{\gamma}}r^{1+1\sqrt{\gamma}} + \frac{C_2}{1 - \sqrt{\gamma}}r^{1-\sqrt{\gamma}} + \frac{C_3}{1 + \sqrt{m_2}}r^{1+\sqrt{m_2}} + \frac{C_4}{1 - \sqrt{\gamma}}r^{1-\sqrt{\gamma}} + C_5;$$

$$(2.8)$$

в) при
$$\frac{K_{22}}{K_{11}} \neq \frac{D_{22}}{D_{11}} = \frac{C_{22}}{C_{11}}$$

$$m_1 = \frac{K_{22}VC_{11} + C_{22}VD_{11}}{K_{11}VC_{11} + C_{11}VD_{11}}, \quad m_2 = \frac{K_{22}VC_{11} - C_{22}VD_{11}}{K_{11}VC_{11} - C_{11}VD_{11}},$$

$$u^2 = \sqrt{\frac{D_{11}}{C_{11}}} \left(-C_1r^{V\overline{m_1}} - C_2r^{-V\overline{m_1}} + C_3r^{V\overline{m_2}} + C_3r^{-V\overline{m_2}} \right),$$

$$w^0 = \frac{C_1}{1 + V\overline{m_1}} r^{1 + V\overline{m_1}} + \frac{C_2}{1 - V\overline{m_1}} r^{1 - V\overline{m_1}} + \frac{C_3}{1 + V\overline{m_2}} r^{1 + V\overline{m_2}} + \frac{C_3}{1 + V\overline{m_2}} r^{1 + V\overline{m_2}} + \frac{C_4}{1 - V\overline{m_2}} r^{1 + V\overline{m_2}} + C_5;$$

$$r) \text{ при } \qquad \frac{C_{22}}{C_{11}} = \frac{K_{22}}{K_{11}} = \frac{D_{22}}{D_{11}} = v \neq 1$$

$$m_1 = m_2 = v,$$

$$u^0 = C_1r^{1 - V} + C_2r^{-1 - V},$$

$$w^0 = \frac{C_3}{1 + V} r^{1 + V\overline{N}} + \frac{C_4}{1 - V} r^{1 - V\overline{N}} + C_5;$$

$$2.10)$$

$$m_1 = m_2 = 1,$$

$$u^0 = C_1r + C_2r^{-1},$$

$$w^0 = C_3r^2 + C_4 \ln r + C_5.$$

$$(2.11)$$

Частное решение неоднородной системы (2.1) можно представить в виде:

a) при
$$(K_{11} - K_{22})^2 \neq (C_{11} - C_{22}) (D_{11} - D_{22})$$
 (2.12)

$$\dot{u}^* = \frac{(C_6 + K_{27} - K_{17})(K_{11} - K_{22}) - (C_{27} - C_{17})(D_{11} - D_{22})}{(K_{11} - K_{22})^2 - (C_{11} - C_{22})(D_{11} - D_{22})}r,
(C_6 + K_{27} - K_{17})(C_{11} - C_{22}) - (C_{27} - C_{17})(K_{11} - K_{22})}r^2
2[(K_{11} - K_{22})^2 - (C_{11} - C_{22})(D_{11} - D_{22})]$$
(2.13)

б) при
$$(K_{11} - K_{22})^2 = (C_{11} - C_{22}) (D_{11} - D_{22})$$
 (2.14)

$$u^* = \frac{(C_6 + K_{2T} - K_{1T}) K_{11} - (C_{2T} - C_{1T}) D_{11}}{2 (K_{11}^2 - C_{11}D_{11})} r \ln r,$$

$$w^* = \frac{(C_6 + K_{2T} - K_{1T}) C_{11} - (C_{2T} - C_{1T}) K_{11}}{4 (K_{11}^2 - C_{11}D_{11})} (r^2 \ln r - \frac{r^2}{2}).$$
(2.15)

Таким образом, для радиального перемещения u и прогиба w точек, расположенных на координатной плоскости z=0, получатся значения

$$\left\{
 \begin{array}{l}
 u = u^0 + u^*, \\
 w = w^0 + w^*,
 \end{array}
 \right.$$
(2.16)

в которые войдут шесть постоянных интегрирования.

Имея (2.16), из (1.3) можно определить $u_r(r, z)$, а по (1.6) $\stackrel{...}{-}$ значения внутренних усилий и моментов.

Содержащиеся в найденных значениях u_r , w, T_r , T_{θ} , M_r и M_{θ} постоянные интегрирования определятся из контурных условий конвретной задачи.

8 3. Осесимметричная температурная задача однослойной ортотропной круглой пластинки, когда температура представлена суммой логарифмической функции радиуса и линейной функции г

Задача решается в цилиндрической системе координат r, θ и z. Ось z направляется по оси анизотропии, плоскость z=0 совмещена с срединной плоскостью недеформированной пластинки, а полярная ось, от которой отсчитывается угол θ , в плоскости z=0 расположения произвольно.

Закон распределения температуры внутри пластинки принимается в виде

$$T = \omega - \lambda z - \gamma \ln \frac{r}{p}. \tag{3.1}$$

Легко убедиться, что выбранная температурная функция (3.1) удовлетворяет уравнению теплопроводности [7].

Зависимость модулей Юнга от температуры принимается в виде

$$E_x = E_x e^{-\pi T}$$
, $E_9 = E_x e^{-\pi T}$, (nph $\alpha > 0$) (3.2)

а коэффициенты Пуассона и температурного расширения считаются не зависящими от температуры

$$\mu_1 = \text{const}, \quad \mu_2 = \text{const},$$

 $\beta_r = \beta_0 = \beta = \text{const},$

$$(3.3)$$

Очевилно, что соответствующим подбором постоянных ω , λ , γ , ρ , $E_{\rm B}$, $E_{\rm Z}$ и α можно, с достаточной для практических целей точностью, описать как изменение температуры пластинки, так и изменение модулей упругости в зависимости от температуры.

В рассматриваемом случае решение задачи сводится к интегрированию системы дифференциальных уравнений (1.9), в которой значения коэффициентов определяются формулами

$$C_{11} = \int_{\frac{k}{2}}^{\frac{k}{2}} B_{11} dz = \frac{kE_1}{k - \mu_1^2} \left(\frac{r}{\rho}\right)^{s_1} A_1, \quad C_{12} = \int_{\frac{k}{2}}^{\frac{k}{2}} B_{12} dz = \frac{\mu_1 E_2}{k - \mu_1^2} \left(\frac{r}{\rho}\right)^{s_1} A_1,$$

$$C_{22} = \int_{\frac{k}{2}}^{\frac{k}{2}} B_{22} dz = \frac{E_1}{k - \mu_1^2} \left(\frac{r}{\rho}\right)^{s_1} A_1,$$

$$K_{11} = \int_{\frac{k}{2}}^{\frac{k}{2}} B_{11} z dz = \frac{kE_1}{k - \mu_1^2} \left(\frac{r}{\rho}\right)^{s_1} A_2, \quad K_{12} = \int_{\frac{k}{2}}^{\frac{k}{2}} B_{12} z dz = \frac{\mu_1 E_1}{k - \mu_1^2} \left(\frac{r}{\rho}\right)^{s_1} A_2,$$

$$K_{22} = \int_{\frac{k}{2}}^{\frac{k}{2}} B_{22} z dz = \frac{E_1}{k - \mu_1^2} \left(\frac{r}{\rho}\right)^{s_1} A_2,$$

$$D_{11} = \int_{\frac{k}{2}}^{\frac{k}{2}} B_{12} z^2 dz = \frac{kE_1}{k - \mu_1^2} \left(\frac{r}{\rho}\right)^{s_1} A_3, \quad D_{12} = \int_{\frac{k}{2}}^{\frac{k}{2}} B_{12} z^2 dz = \frac{\mu_1 E_1}{k - \mu_1^2} \left(\frac{r}{\rho}\right)^{s_1} A_3,$$

$$D_{22} = \int_{\frac{k}{2}}^{\frac{k}{2}} B_{22} z^2 dz = \frac{E_2}{k - \mu_1^2} \left(\frac{r}{\rho}\right)^{s_1} A_3,$$

$$C_{17} = \int_{\frac{k}{2}}^{\frac{k}{2}} Q_1 T dz = E_1 \beta \frac{k + \mu_1}{k - \mu_1^2} \left(\frac{r}{\rho}\right)^{s_1} \left(\tau A_1 \ln \frac{r}{\rho} - A_4\right),$$

$$K_{17} = \int_{\frac{k}{2}}^{\frac{k}{2}} Q_2 T dz = E_1 \beta \frac{k + \mu_1}{k - \mu_1^2} \left(\frac{r}{\rho}\right)^{s_1} \left(\tau A_2 \ln \frac{r}{\rho} - A_4\right),$$

$$K_{17} = \int_{\frac{k}{2}}^{\frac{k}{2}} Q_2 T z dz = E_1 \beta \frac{k + \mu_1}{k - \mu_1^2} \left(\frac{r}{\rho}\right)^{s_1} \left(\tau A_2 \ln \frac{r}{\rho} - A_5\right),$$

$$K_{27} = \int_{\frac{k}{2}}^{\frac{k}{2}} Q_2 T z dz = E_1 \beta \frac{1 + \mu_1}{k - \mu_1^2} \left(\frac{r}{\rho}\right)^{s_1} \left(\tau A_2 \ln \frac{r}{\rho} - A_5\right),$$

Fig. 4.
$$A_1 = \frac{2}{2\lambda}e^{-\alpha\omega} \sin\frac{\alpha\lambda h}{2}$$
, $A_2 = \frac{1}{\alpha^2\lambda^2}e^{-\alpha\omega} \left(\alpha\lambda h \cot\frac{\alpha\lambda h}{2} - 2\sin\frac{\alpha\lambda h}{2}\right)$, $A_3 = \frac{1}{2\alpha^3\lambda^3}e^{-\alpha\omega} \left[(\alpha^2\lambda^2h^2 + 8) \sin\frac{\alpha\lambda h}{2} - 4\alpha\lambda h \cot\frac{\alpha\lambda h}{2} \right]$, $A_4 = \frac{1}{\alpha^2\lambda}e^{-\alpha\omega} \left[2(\omega\alpha + 1) \sin\frac{\alpha\lambda h}{2} - \alpha\lambda h \cot\frac{\alpha\lambda h}{2} \right]$, $A_4 = \frac{1}{2\alpha^3\lambda^2}e^{-\alpha\omega} \left[2(\omega\alpha + 1) \sin\frac{\alpha\lambda h}{2} - \alpha\lambda h \cot\frac{\alpha\lambda h}{2} \right]$, $A_4 = \frac{1}{2\alpha^3\lambda^2}e^{-\alpha\omega} \left[2\alpha\lambda h (\alpha\omega + 2) \cot\frac{\alpha\lambda h}{2} - [4(\omega\alpha + 2) - \alpha^2\lambda^2h^2] \sin\frac{\alpha\lambda h}{2} \right]$, $A_4 = \frac{E_F}{E_0} = \frac{E_1}{E_0}$.

Внеся (3.4) в (1.9), после несложных преобразований получим следующую систему дифференциальных уравнений:

$$A_{1}r^{2}\frac{d^{2}u}{dr^{2}} + A_{1}(\alpha\gamma + 1) r \frac{du}{dr} + \frac{A_{1}}{k}(\mu_{1}\alpha\gamma - 1) u - \frac{1}{k} - \frac{1}{k}(\alpha\gamma + 1) r \frac{d^{2}w}{dr^{2}} - \frac{A_{2}}{k}(\mu_{1}\alpha\gamma - 1) \frac{dw}{dr} = \frac{A_{1}\beta\gamma}{k} [1 - k - \alpha\gamma(k + \mu_{1})] r \ln \frac{r}{\rho} - \frac{3}{k}[A_{4}[1 - k - \alpha\gamma(k + \mu_{1})] + A_{1}\gamma(k + \mu_{1})] r,$$

$$A_{2}r^{2}\frac{d^{2}u}{dr^{2}} + A_{2}(\alpha\gamma + 1) r \frac{du}{dr} + \frac{A_{2}}{k}(\mu_{1}\alpha\gamma - 1) u - \frac{1}{k} - \frac{1}{k} A_{3}(\alpha\gamma + 1) r \frac{d^{2}w}{dr^{2}} - \frac{A_{3}}{k}(\mu_{1}\alpha\gamma - 1) \frac{dw}{dr} = \frac{k - \mu_{1}^{2}}{kE_{1}} \rho^{2}\gamma(C_{0}r^{1-\alpha}\gamma + \frac{A_{2}\beta\gamma}{k}[1 - k - \alpha\gamma(k + \mu_{1})] r \ln \frac{r}{\rho} - \frac{3}{k} [A_{3}[1 - k - \alpha\gamma(k + \mu_{1})] + A_{2}\gamma(k + \mu_{1})] r.$$

$$(3.6)$$

В однородной системе, соответствующей системе (3.6), можно разделить переменные, в результате чего, при выполнении условия $A_1^2 - A_1 A_2 \neq 0$, она приводится к двум однородным уравнениям

$$\begin{split} r^{2}\frac{d^{2}u}{dr^{2}} + \left(\alpha\gamma + 1\right)r\frac{du}{dr} + \frac{\mu_{1}\alpha\gamma - 1}{k}u = 0, \\ \hat{r}^{2}\frac{d^{3}w}{dr^{3}} + \left(\alpha\gamma + 1\right)r\frac{d^{2}w}{dr^{3}} + \frac{\mu_{1}\alpha\gamma - 1}{k}\frac{dw}{dr} = 0, \end{split}$$

решениями которых являются

где

$$n_{1,2} = -\frac{\alpha_1^2}{2} \pm \frac{1}{2} \sqrt{\frac{\alpha^2 \gamma^2 + 4 \left(1 - \mu_1 \alpha_1 \gamma\right)}{k}}$$

представляют корни характеристического уравнения

$$n^2 + \alpha \gamma n + \frac{\mu_1 \alpha \gamma - 1}{k} = 0.$$

Частное решение (3.6) можно представить в виде

$$\begin{split} u^* &= \beta \left[\omega + \gamma \frac{k \left(1 + 2\gamma \right) - \mu_1}{k - 1 + 2\gamma \left(k + \mu_1 \right)} \right] r - \beta \gamma r \ln \frac{r}{\rho} + \\ &+ \frac{2 i \hbar \cosh \frac{2 i \hbar}{2} - 2 \sinh \frac{2 i \hbar}{2}}{2 \pi^2 \lambda^2 \hbar^2 - 4 \sinh \frac{2 i \hbar}{2}} \cdot \frac{2^2 \lambda^2 \left(k - \mu_1^2 \right) \rho^{\pi_1} e^{i \pi_1}}{E_1 \left[k - 1 - 2\gamma \left(k - \mu_1 \right) \right]} \frac{O_{\theta} r^{1 - \pi_1}}{O_{\theta} r^{1 - \pi_1}}, \\ w^* &= \frac{\beta \lambda}{2} r^2 + \frac{\sinh \frac{2 i \hbar}{2}}{2^2 \lambda^2 \hbar^2 - 4 \sinh^2 \frac{2 i \hbar}{2}} \cdot \frac{2 \pi^3 \lambda^3 \left(k - \mu_1^2 \right) \rho^{\pi_1} e^{i \pi_1}}{E_1 \left[k - 1 - 2\gamma \left(k - \mu_1 \right) \right] \left(2 - 2\gamma \right)} \times \\ &\times C_{\theta} r^{2 - 2\gamma} \qquad (\text{если } 2\gamma \neq 2) \\ w^* &= \frac{\beta \lambda}{2} r^2 + \frac{\sinh \frac{2 i \hbar}{2}}{2^2 \lambda^2 \hbar^2 - 4 \sinh^2 \frac{2 i \hbar}{2}} \cdot \frac{2 \pi^3 \lambda^3 \left(k - \mu_1^2 \right) \rho^{\pi_1} e^{i \pi_1}}{E_1 \left[k - 1 - 2\gamma \left(k - \mu_1 \right) \right]} - \times \end{split}$$

Таким образом, для радиального перемещения u и прогиба в точек, расположенных на координатной плоскости z=0, получаю значения

$$u = u^0 + u^*,$$

 $w = w^0 + w^*,$
(35)

(если $\alpha\gamma = 2$)

в которые войдут шесть постоянных интегрирования.

Имея (3.9), по (1.3) можно определить $u_r(r, z)$, а по (1.6) — значения внутренних усилий и моментов.

Содержащиеся в значениях u_r , w, T_r , T_s , M_r и M_0 постояние интегрирования определятся из контурных условий конкретной задачи

§ 4. Примеры расчета

Пример № 1. Рассматривается однослойная ортотропная кругли пластинка раднуса R, находящаяся под воздействием темперапри линейно изменяющейся по толщине h, с перепадом от $T_1 =$

$$=T\left(r,-\frac{h}{2}\right)$$
 go $T_2=T\left(r,-\frac{h}{2}\right)$

Условия на контуре пластинки задаются в виде

при
$$r = R$$
, $z = 0$ $u = w = 0$,
при $r = R$ $M_x = 0$. (4.1)

в силу осесимметричности задачи должны быть выполнены также ус-

npu
$$r = 0, z = 0$$
 $u = \frac{dw}{dr} = 0.$ (4.2)

Учитывая, что в рассматриваемой задаче температурное поле свящоварно, с целью упрощения дальнейших выкладок, координатния плоскость 'z = 0 предполагается совмещенной с срединной плоскостью недеформированной пластинки.

Как и в [8], принимается линейный закон изменения модулей заругости от температуры:

$$E_r = E_1(1 - \alpha T), \quad E_0 = E_2(1 - \alpha T), \quad (\text{при } \alpha > 0)$$
 (4.3)

коэффициенты Пауссона и температурного расширения считаются
 зависящими от темепратуры;

$$\mu_1 = \text{const}, \quad \mu_2 = \text{const}, \quad \beta_r = \beta_0 = \beta = \text{const}.$$

При принятом расположении координатных осей

$$T = \omega - \lambda z,$$

$$\omega = \frac{T_1 + T_2}{2}, \quad \lambda = \frac{T_1 - T_2}{h}.$$
(4.4)

Из (1.7) с учетом (1.5), (4.3) и (4.4) определятся

$$C_{11} = \frac{kC_{12}}{\mu_1} = kC_{22} = \frac{kE_1}{k - \mu_1^2} (1 - \alpha \omega) h, \quad K_{11} = \frac{kK_{12}}{\mu_1} = kK_{22} = \frac{kE_1}{k - \mu_1^2} \alpha h \frac{h^3}{12}.$$

$$D_{11} = \frac{kD_{12}}{\mu_1} = kD_{22} = \frac{kE_1}{k - \mu_1^2} (1 - \alpha \omega) \frac{h^3}{12}.$$

$$C_{1T} = \frac{E_1\beta (k + \mu_1)}{k - \mu_1^2} \left[\alpha h^3 \frac{h^3}{12} - (1 - \alpha \omega) \omega h \right]. \quad (4.5)$$

$$C_{2T} = \frac{E_1\beta (1 + \mu_1)}{k - \mu_1^2} \left[\alpha h^3 - (1 - \alpha \omega) \omega h \right].$$

$$K_{1T} = \frac{E_1 \beta (k + \mu_1)}{k - \mu_1^2} (-2\alpha \omega) \lambda \frac{h^3}{12},$$

$$K_{2T} = \frac{E_1 \beta (1 + \mu_1)}{k - \mu_1^2} (1 - 2\alpha \omega) \lambda \frac{h^3}{12},$$

где принято обозначение $\frac{E_r}{E_h} = \frac{E_1}{E_r} = k$.

В случае $k \neq 1$ из (2.16) с учетом (2.10), (2.13) и (4.5) получи

$$u = C_{1}r^{\frac{1}{\sqrt{k}}} + C_{2}r^{-\frac{1}{\sqrt{k}}} - \frac{k}{K_{11}^{2} - C_{11}D_{11}} \left(\frac{K_{11}K_{1T} - D_{11}C_{1T}}{k - \mu_{1}} + \frac{K_{11}C_{6}}{1 - k} \right)r,$$

$$w = C_{3}\frac{\sqrt{k}}{\sqrt{k} + 1}r^{\frac{1}{\sqrt{k}}} + C_{4}\frac{\sqrt{k}}{\sqrt{k} - 1}r^{\frac{1}{\sqrt{k}}} - \frac{1}{\sqrt{k}} - \frac{k}{2(K_{11}^{2} - C_{11}D_{11})} \left(\frac{C_{11}K_{1T} - K_{11}C_{1T}}{k + \mu_{1}} + \frac{C_{11}C_{6}}{1 - k} \right)r^{2} + C_{5}.$$
(4.5)

Внеся (4.6) в (1.6) и (1.3), определим значения усилий и може тов

$$\begin{split} T_r &= \frac{\mu_1 + \sqrt{k}}{k} \left(C_1 C_{11} - C_3 K_{11} \right) r^{\frac{1}{\sqrt{k}} - 1} \frac{\mu_1 - \sqrt{k}}{k} \left(C_2 C_{11} - C_4 K_{11} \right) r^{-\frac{1}{\sqrt{k}} - 1}, \\ T_0 &= \frac{\mu_1 + \sqrt{k}}{k \sqrt{k}} \left(C_1 C_{11} - C_3 K_{11} \right) r^{\frac{1}{\sqrt{k}} - 1} - \frac{\mu_1 - \sqrt{k}}{k \sqrt{k}} \left(C_2 C_{11} - C_4 K_{11} \right) r^{-\frac{1}{\sqrt{k}} - 1}, \\ M_r &= \frac{\mu_1 + \sqrt{k}}{k} \left(C_1 K_{11} - C_3 D_{11} \right) r^{\frac{1}{\sqrt{k}} - 1} + \\ &+ \frac{\mu_1 - \sqrt{k}}{k} \left(C_2 K_{11} - C_4 D_{11} \right) r^{-\frac{1}{\sqrt{k}} - 1} + \frac{k + \mu_1}{k - 1} C_6, \\ M_0 &= \frac{\mu_1 + \sqrt{k}}{k \sqrt{k}} \left(C_1 K_{11} - C_3 D_{11} \right) r^{\frac{1}{\sqrt{k}} - 1} - \\ &- \frac{\mu_1 - \sqrt{k}}{k \sqrt{k}} \left(C_2 K_{11} - C_4 D_{11} \right) r^{-\frac{1}{\sqrt{k}} - 1} + \frac{1 + \mu_1}{k - 1} C_8, \end{split}$$

а также значение радиального перемещения

$$u_{r} = u - \left| C_{3}r^{\frac{1}{\sqrt{k}}} + C_{4}r^{-\frac{1}{\sqrt{k}}} - \frac{k}{K_{11}^{2} - C_{11}D_{11}} \left(\frac{C_{11}K_{1T} - K_{11}C_{1T}}{k + u_{1}} + \frac{C_{11}C_{6}}{1 - k} \right) r \right| z.$$
(48)

Из условий (4.2), а также принимая во внимание односвязность контура пластинки (см. сноску к формулам 1.8), следует, что

$$C_2 = C_4 = C_6 = 0.$$
 (4.9)

Из (4.6)—(4.8), учитывая (4.1) и (4.9), получим значения остальших постоянных интегрирования

$$\begin{split} C_{1} &= \frac{k}{k + \mu_{1}} \cdot \frac{K_{11}K_{1T} - D_{11}C_{1T}}{K_{11}^{2} - C_{11}D_{11}} R^{\frac{1 - \frac{1}{k \cdot k}}{k}}, \\ C_{3} &= \frac{k}{k + \mu_{1}} \cdot \frac{K_{11}}{D_{11}} \cdot \frac{K_{11}K_{1T} - D_{11}C_{1T}}{K_{11}^{2} - C_{11}D_{11}} R^{\frac{1 - \frac{1}{k \cdot k}}{k \cdot k}}, \\ C_{5} &= \frac{k}{k + \mu_{1}} \cdot \frac{R^{2}}{K_{11}^{2} - C_{11}D_{11}} \left[\frac{1}{2} \left(C_{11}K_{1T} - K_{11}C_{1T} \right) - \frac{k}{k + V \cdot k} \cdot \frac{K_{11}}{D_{11}} \left(K_{11}K_{1T} - D_{11}C_{1T} \right) \right]. \end{split}$$

Следовательно,

$$\begin{aligned} w_{r} &= \frac{k}{(k + p_{2})(K_{11}^{2} - C_{11}D_{11})} \left\{ (K_{11}K_{1T} - D_{11}C_{1T})(R^{\frac{1 - \frac{1}{\sqrt{k}}}{T^{\frac{1}{k}}}} - r) - \right. \\ &- \left[\frac{K_{11}}{D_{11}}(K_{11}K_{1T} - D_{11}C_{1T})R^{\frac{1 - \frac{1}{\sqrt{k}}}{T^{\frac{1}{k}}}} r^{\frac{1}{\sqrt{k}}} - (C_{11}K_{1T} - K_{11}C_{1T})r \right] z \right\}, \\ w &= \frac{k}{(k + p_{2})(K_{11}^{2} - C_{11}D_{11})} \left[\frac{k}{k + \sqrt{k}} \cdot \frac{K_{11}}{D_{11}} \left(K_{11}K_{1T} - \frac{1}{k} - \frac{1}{k^{\frac{1}{k}}} r^{\frac{1}{k}} - R^{2} \right) + \frac{1}{2} (C_{11}K_{1T} - K_{11}C_{1T})(R^{2} - r^{2}) \right], \\ \frac{dw}{dr} &= \frac{k}{(k + p_{1})(K_{11}^{2} - C_{11}D_{11})} \left[\frac{K_{11}}{D_{11}} (K_{11}K_{1T} - D_{11}C_{1T})R^{\frac{1 - \frac{1}{k^{\frac{1}{k}}}}{T^{\frac{1}{k}}}} r^{\frac{1}{k^{\frac{1}{k}}}} - \right. \\ &- \left. (C_{11}K_{1T} - K_{11}C_{1T})r \right], \\ T_{r} &= -\frac{p_{1} + \sqrt{k}}{p_{1} + k} \cdot \frac{K_{11}K_{1T} - D_{11}C_{1T}}{D_{11}}R^{\frac{1 - \frac{1}{k^{\frac{1}{k}}}}{T^{\frac{1}{k}}}} r^{\frac{1}{k^{\frac{1}{k}}}}, \\ T_{0} &= -\frac{p_{1} + \sqrt{k}}{\sqrt{k}(p_{1} + k)} \cdot \frac{K_{11}K_{1T} - D_{11}C_{1T}}{D_{11}}R^{\frac{1 - \frac{1}{k^{\frac{1}{k}}}}{T^{\frac{1}{k}}}} r^{\frac{1}{k^{\frac{1}{k}}}}, \\ M_{r} &= 0, \quad M_{0} &= 0. \end{aligned}$$

$$(4.10)$$

Пример № 2. В качестве второго примера решается температурная задача однослойной ортотропной круглой пластинки, отличающаяся от рассмотренной в примере № 1 только условиями на контуре пластинки, которые заданы в виде

прв
$$r = R$$
, $z = 0$, $u = w = \frac{dw}{dr} = 0$. (4.11)

Из (4.6)—(4.8), учитывая (4.2) и (4.11), получим значения постоянных интегрирования

$$\begin{split} C_1 &= \frac{k}{k + \mu_1} \cdot \frac{K_{11}K_{17} - D_{11}C_{17}}{K_{11}^2 - C_{11}D_{11}} R^{1 - \frac{1}{1-k}}, \quad C_2 = 0, \\ C_3 &= \frac{k}{k + \mu_1} \cdot \frac{C_{11}K_{17} - K_{11}C_{17}}{K_{11}^2 - C_{11}D_{11}} R^{1 - \frac{1}{1-k}}, \quad C_4 = 0, \\ C_5 &= \frac{k \left(1 - \sqrt{k}\right)}{2 \left(k + \mu_1\right)\left(1 + \sqrt{k}\right)} \cdot \frac{C_{11}K_{17} - K_{11}C_{17}}{K_{11}^2 - C_{11}D_{11}} R^2, \quad C_6 = 0. \end{split}$$

Следовательно,

$$u_{r} = \frac{k}{(k+\mu_{1})(K_{11}^{2} - C_{11}D_{11})} \left(R^{\frac{1-\frac{1}{\sqrt{k}}}{\sqrt{k}}}r^{\frac{1}{\sqrt{k}}} - r\right)[K_{11}K_{1T} - D_{11}C_{1T} - \frac{1}{-2}(C_{11}K_{1T} - K_{11}C_{1T})],$$

$$w = \frac{k}{k+\mu_{1}} \frac{C_{11}K_{1T} - K_{11}C_{1T}}{K_{11}^{2} - C_{11}D_{11}} \left[\frac{1-V\overline{k}}{2(1+V\overline{k})}R^{2} + \frac{V\overline{k}}{1+V\overline{k}}R^{\frac{1-\frac{1}{\sqrt{k}}}{1+V\overline{k}}}r^{\frac{1-\frac{1}{\sqrt{k}}}{1+V\overline{k}}} - \frac{1}{2}r^{2}\right],$$

$$\frac{dw}{dr} = \frac{k}{k+\mu_{1}} \frac{C_{11}K_{1T} - K_{11}C_{1T}}{K_{11}^{2} - C_{11}D_{11}} \left(R^{\frac{1-\frac{1}{\sqrt{k}}}{1+V\overline{k}}}r^{\frac{1}{\sqrt{k}}} - r\right),$$

$$T_{r} = \frac{\mu_{1} + V\overline{k}}{\mu_{1} + k}C_{1T}R^{\frac{1-\frac{1}{\sqrt{k}}}{1+V\overline{k}}}r^{\frac{1-\frac{1}{\sqrt{k}}}{1+V\overline{k}}},$$

$$T_{\theta} = \frac{\mu_{1} + V\overline{k}}{V\overline{k}(\mu_{1} + k)}C_{1T}R^{\frac{1-\frac{1}{\sqrt{k}}}{1+V\overline{k}}}r^{\frac{1}{\sqrt{k}}},$$

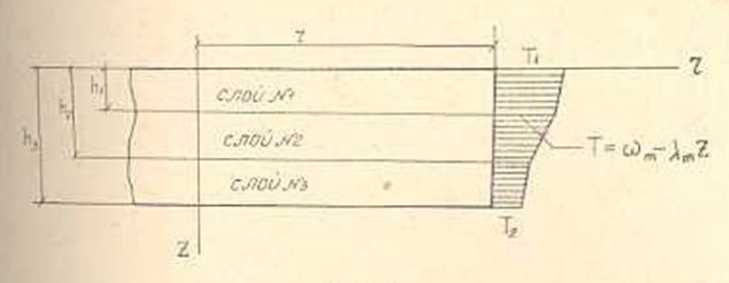
$$M_{r} = \frac{\mu_{1} + V\overline{k}}{\mu_{1} + k}K_{1T}R^{\frac{1-\frac{1}{\sqrt{k}}}{1+V\overline{k}}}r^{\frac{1}{\sqrt{k}}},$$

$$M_{\theta} = \frac{\mu_{1} + V\overline{k}}{V\overline{k}(\mu_{1} + k)}K_{1T}R^{\frac{1-\frac{1}{\sqrt{k}}}{1+V\overline{k}}}r^{\frac{1}{\sqrt{k}}}.$$

$$(4.12)$$

Пример № 3. В качестве третьего примера рассматривается трехсюйная ортотропная круглая пластинка радиуса R, находящаяся под воздействием температуры, линейно изменяющейся по толщине каждого слоя.

Координатная плоскость z=0 совмещена с верхним основанием ждеформированного пакета (фиг. 2).



Фиг. 2.

При принятом расположении осей изменение температуры по полщине можно выразить формулами

$$T = \omega_1 - \lambda_1 z$$
 при $0 \le z \le h_1$, $T = \omega_2 - \lambda_2 z$ при $h_1 \le z \le h_2$, $T = \omega_3 - \lambda_3 z$ при $h_2 \le z \le h_3$, (4.13)

гле \1, \2 и \2 зависят от материала слоев.

При этом, очевидно, имеют место зависимости

$$\begin{split} & \omega_1 = T_1 \\ & \omega_1 - \lambda_1 h_1 = \omega_2 - \lambda_2 h_1, \\ & \omega_2 - \lambda_1 h_2 = \omega_3 - \lambda_3 h_2, \\ & \omega_3 - \lambda_2 h_3 = T_2. \end{split}$$

Как и в примере № 1, принимается линейный закон изменения модулей упругости от температуры

$$E_t^{(m)} = E_1^{(m)} (1 - \alpha_m T), \quad E_b^{(m)} = E_2^{(m)} (1 - \alpha_m T), \quad (m = 1, 2, 3)$$
 (4.14)

 коффициенты Пауссона и температурного расширения принимаются не зависящими от температуры

$$\mu_1^{(m)} = \text{const.} \quad \mu_2^{(m)} = \text{const.} \quad \beta_r^{(m)} = \beta_0^{(m)} = \beta_m = \text{const.} \quad (m = 1, 2, 3) \quad (4.15)$$
H3 (1.7), с учетом (1.5), (4.13)—(4.15), получатся

$$\begin{split} C_{II} &= \frac{E_{i}^{(1)}h_{1}}{1-\mu_{i}^{(1)}\mu_{2}^{(1)}} \left(1-z_{1}\omega_{1}+z_{1}h_{1}\frac{h_{1}}{2}\right) + \frac{E_{i}^{(2)}(h_{2}-h_{1})}{1-\mu_{i}^{(2)}\mu_{2}^{(2)}} \left(1-z_{2}\omega_{2}+\frac{h_{2}}{2}\right), \\ &+ z_{2}j_{2}\frac{h_{2}+h_{1}}{2}\right) + \frac{E_{i}^{(3)}(h_{3}-h_{2})}{1-\mu_{i}^{(3)}\mu_{2}^{(3)}} \left(1-z_{2}\omega_{2}+z_{2}t_{2}\frac{h_{3}+h_{2}}{2}\right), \\ &+ \mu_{2}j_{2}\frac{h_{2}+h_{1}}{2}\right) + \frac{E_{i}^{(3)}(h_{2}^{2}-h_{1})}{1-\mu_{i}^{(3)}\mu_{2}^{(3)}} \left(1-z_{2}\omega_{2}\right) \frac{h_{2}+h_{1}}{2} + z_{2}t_{2}\frac{h_{1}^{2}+h_{2}h_{3}+h_{2}^{2}}{3}\right) + \\ &+ \frac{E_{i}^{(3)}(h_{3}-h_{2})}{1-\mu_{i}^{(3)}\mu_{2}^{(3)}} \left[(1-z_{2}\omega_{2})\frac{h_{2}+h_{1}}{2} + z_{2}t_{2}\frac{h_{1}^{2}+h_{2}h_{3}+h_{2}^{2}}{3}\right] + \\ &+ \frac{E_{i}^{(3)}(h_{3}-h_{2})}{1-\mu_{i}^{(3)}\mu_{2}^{(3)}} \left[(1-z_{3}\omega_{3})\frac{h_{3}+h_{2}}{2} + z_{3}j_{3}\frac{h_{3}^{2}+h_{2}h_{3}+h_{2}^{2}}{3}\right], \\ &- \mu_{1}i_{1} = \mu_{i}^{(3)}\mu_{2}^{(3)} \left[(1-z_{2}\omega_{2})\frac{h_{2}^{2}-h_{1}^{2}}{3} + z_{2}j_{2}\frac{h_{2}^{2}-h_{1}^{2}}{4}\right] + \\ &+ \frac{E_{i}^{(2)}}{1-\mu_{i}^{(3)}\mu_{2}^{(3)}} \left[(1-z_{2}\omega_{3})\frac{h_{3}^{2}-h_{1}^{2}}{3} + z_{2}j_{2}\frac{h_{3}^{2}-h_{1}^{2}}{4}\right], \\ &- \mu_{1}i_{1} = \mu_{1}^{(3)}\mu_{2}^{(3)} \left[(1-z_{2}\omega_{3})\frac{h_{3}^{2}-h_{1}^{2}}{3} + z_{2}j_{2}\frac{h_{3}^{2}-h_{1}^{2}}{4}\right], \\ &- \mu_{2}i_{1} = \mu_{1}^{(3)}\mu_{2}^{(3)} \left[(1-z_{2}\omega_{1})\frac{h_{3}^{2}-h_{1}^{2}}{3} + z_{2}j_{2}\frac{h_{3}^{2}-h_{1}^{2}}{4}\right], \\ &- \mu_{1}i_{2} = \mu_{1}^{(3)}\mu_{2}^{(3)} \left[(1-z_{2}\omega_{2})(h_{2}-h_{1})\omega_{2} + h_{1}^{2}-\mu_{1}^{(3)}\mu_{2}^{(3)}\right], \\ &- \mu_{1}i_{2} = \mu_{1}^{(3)}\mu_{2}^{(3)} \left[(1-z_{2}\omega_{2})(h_{2}-h_{1})\omega_{2} + h_{2}^{2}-\mu_{2}^{(3)}\mu_{2}^{(3)}\right], \\ &+ \mu_{2}(2z_{2}\omega_{2}-1)\frac{h_{2}^{2}-h_{1}^{2}}{2} - z_{2}j_{2}^{2}\frac{h_{3}^{2}-h_{1}^{2}}{2} - \mu_{2}i_{2}^{3}\frac{h_{3}^{2}-h_{2}^{2}}{3}\right], \\ &- \mu_{1}i_{2} = \mu_{1}^{(3)}\mu_{2}^{(3)} \left[(1-z_{2}\omega_{2})(h_{2}-h_{1})\frac{h_{2}^{2}-h_{1}^{2}}{2} - \mu_{2}i_{2}^{3}\frac{h_{2}^{2}-h_{1}^{2}}{2}\right], \\ &+ \mu_{2}(2z_{2}\omega_{2}-1)\frac{h_{2}^{2}-h_{1}^{2}}{2} - z_{2}j_{2}^{2}\frac{h_{2}^{2}-h_{1}^{2}}{2} - \mu_{2}i_{2}^{3}\frac{h_{2}^{2}-h_{1}^{2}}{2} - \mu_{2}i_{2}^{3}\frac{h_{2}^{2}-h_{1}^{2}}{2} - \mu_{2}i_{2}^{3}\frac{h_{2}^{2}-h_{1}^{2}}{2} - \mu_{2}i_{2}^{3}\frac{h_{2$$

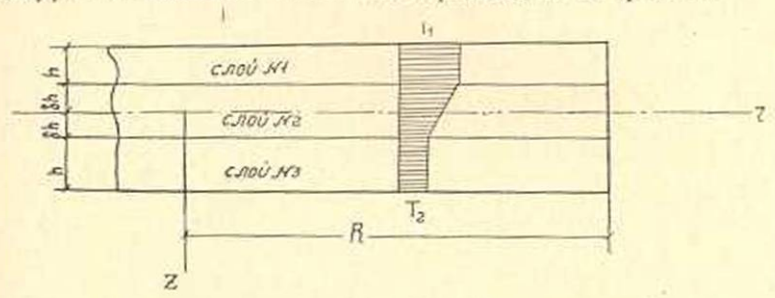
$$\begin{split} &-\alpha_{1}\lambda_{1}^{2}\frac{h_{1}^{2}}{4}\bigg) - \frac{E_{1}^{(2)}\beta_{2}[1+\mu_{f}^{(2)}]}{1-\mu_{1}^{(2)}\mu_{2}^{(2)}}\bigg[(1-\alpha_{2}\omega_{2})\,\omega_{2}\frac{h_{2}^{2}-h_{1}^{2}}{2} +\\ &+\lambda_{2}\left(2\alpha_{2}\omega_{2}-1\right)\frac{h_{2}^{3}-h_{1}^{3}}{3}-\alpha_{2}\lambda_{2}^{2}\frac{h_{2}^{4}-h_{1}^{4}}{4}\bigg]-\\ &-\frac{E_{1}^{(3)}\beta_{3}[1+\mu_{f}^{(3)}]}{1-\mu_{1}^{(3)}\mu_{2}^{(3)}}\bigg[(1-\alpha_{3}\omega_{3})\,\omega_{3}\frac{h_{3}^{2}-h_{2}^{2}}{2} +\\ &+\lambda_{3}\left(2\alpha_{3}\omega_{3}-1\right)\frac{h_{3}^{3}-h_{2}^{3}}{3}-\alpha_{3}\lambda_{3}^{2}\frac{h_{3}^{4}-h_{2}^{4}}{4}\bigg],\\ &-\text{при } i=1,\ j=2\\ &\text{при } i=2,\ j=1 \end{split} \end{split} \tag{4.17}$$

Дальнейший ход решения не представляет принципиальных затруднений, т. к., имея значения C_{ii} , K_{ii} , D_{ii} , C_{iT} , K_{iT} , по (2.3), (2.4), (2.6)—(2.16) и из конкретных контурных условий найдутся значения и w, а следовательно, внутренние усилия и моменты.

В частном случае, когда $\frac{E_1^{(m)}}{E_2^{(m)}} = k$, решение рассматриваемой задачи получится, если в (4.10) или (4.12) (в зависимости от граничных условий) внести (4.16) и (4.17).

Пример N = 4. В качестве четвертого примера приводится расчет симметрично собранной трехслойной круглой пластинки. Координатная плоскость z = 0 предполагается совмещенной со срединной плоскостью среднего слоя недеформированной пластинки.

Расположение слоев, некоторые размеры и эпюра распределения температуры по толщине пластинки приведены на фиг. 3.



Фиг. 3

Температура вдоль радиуса считается постоянной, а по толщине изменяется по закону

$$T = T_1 \qquad -\delta h > z > -h (1 + \delta),$$

$$T = \frac{T_1 + T_2}{2} - \frac{T_1 - T_2}{2\delta h} z \qquad \delta h > z > -\delta h,$$

$$T = T_2 \qquad h (1 + \delta) > z > \delta h.$$

$$(4.18)$$

Принимается также:

для слоя
$$\mathbb{N}_{2}$$
 1 — $E_{r}^{(1)} = E\left(1 - \alpha T_{1}\right), \quad E_{4}^{(1)} = E\left(1 - \alpha T_{1}\right),$
$$\mu_{1}^{(1)} = \mu_{2}^{(1)} = \mu, \quad \beta_{1} = \beta,$$
 для слоя \mathbb{N}_{2} 2 — $E_{r}^{(2)} = \epsilon E, \quad E_{6}^{(2)} = \frac{\epsilon}{k} E, \quad \mu_{1}^{(2)} = \nu \mu$ (4.19)
$$\left(\text{следов, } \mu_{2}^{(2)} = \frac{\nu}{k} \mu\right), \quad \beta_{2} = 0,$$
 для слоя \mathbb{N}_{2} 3 — $E_{r}^{(3)} = E\left(1 - \alpha T_{2}\right), \quad E_{6}^{(3)} = E\left(1 - \alpha T_{2}\right),$
$$\mu_{1}^{(3)} = \mu_{2}^{(3)} = \mu, \quad \beta_{3} = \beta.$$

Из (1.7) с учетом (1.5), (4.18) и (4.19) получатся

$$\begin{split} C_{11} &= Eh \left[\frac{2 - \alpha \left(T_1 + T_2 \right)}{1 - \mu^2} + \frac{2\varepsilon k \delta}{k - v^2 \mu^2} \right], \\ C_{12} &= Eh \mu \left[\frac{2 - \alpha \left(T_1 + T_3 \right)}{1 - \mu^2} + \frac{2\varepsilon \delta v}{k - v^2 \mu^2} \right], \\ C_{23} &= Eh \left[\frac{2 - \alpha \left(T_1 + T_2 \right)}{1 - \mu^2} + \frac{2\varepsilon \delta}{k - v^2 \mu^2} \right], \\ K_{11} &= \frac{K_{12}}{\mu} = K_{22} = Eh^2 \frac{1 + 2\delta}{2(1 - \mu^2)} \alpha \left(T_1 - T_2 \right), \\ D_{11} &= \frac{Eh^3}{3} \left[\frac{2 - \alpha \left(T_1 + T_2 \right)}{1 - \mu^2} \left(1 + 3\delta + 3\delta^2 \right) + \frac{2\varepsilon k \delta^3}{k - v^2 \mu^2} \right], \\ D_{12} &= \frac{Eh^3}{3} \mu \left[\frac{2 - \alpha \left(T_1 + T_2 \right)}{1 - \mu^2} \left(1 + 3\delta + 3\delta^2 \right) + \frac{2\varepsilon \delta^3}{k - v^2 \mu^2} \right], \\ D_{22} &= \frac{Eh^3}{3} \left[\frac{2 - \alpha \left(T_1 + T_2 \right)}{1 - \mu^2} \left(1 + 3\delta + 3\delta^2 \right) + \frac{2\varepsilon \delta^3}{k - v^2 \mu^2} \right], \\ C_{1T} &= C_{2T} = -Eh \frac{\beta}{1 - \mu} \left[T_1 + T_2 - \alpha \left(T_1^2 + T_2^2 \right) \right], \\ K_{1T} &= K_{2T} = \frac{Eh^2}{2} \cdot \frac{\beta \left(1 + 2\delta \right)}{1 - \mu} \left(T_1 - T_2 \right) \left[1 - \alpha \left(T_1 + T_2 \right) \right], \end{split}$$

(4.20)

а из (2.6) с учетом (4.20):

$$m_{1,2} = \frac{a (k - v^2 \mu^2) + 16 \epsilon^2 \delta^4 k (1 - \mu^2)^2 + b \epsilon (1 + k) (k - v^2 \mu^2) (1 - \mu^2)}{a (k - v^2 \mu^2) + 16 \epsilon^2 \delta^4 k^2 (1 - \mu^2)^2 + 2b \epsilon k (k - v^2 \mu^2) (1 - \mu^2)} \pm \frac{d \epsilon (1 - k) (k - v^2 \mu^2) (1 - \mu^2)}{a (k - v^2 \mu^2) + 16 \epsilon^2 \delta^4 k^2 (1 - \mu^2)^2 + 2b \epsilon k (k - v^2 \mu^2) (1 - \mu^2)},$$

$$(4.21)$$

THE

$$a = 16 (1 + 3\delta + 3\delta^{2}) [1 - \alpha (T_{1} + T_{2})] + 12\alpha^{2}T_{1}T_{2} (1 + 4\delta + 4\delta^{2}) + \alpha^{2} (T_{1} + T_{2})^{2},$$

$$b = 4\delta [2 - \alpha (T_{1} + T_{2})] (1 + 3\delta + 4\delta^{2}),$$

$$d = 4 (1 + 2\delta) \sqrt{3\delta^{2}\alpha^{2} (T_{1} - T_{2})^{2} + [2 - \alpha (T_{1} + T_{2})]^{2} (1 + \delta)^{2}}.$$

Внесением (4,20), (4,21) в (2.3), (2.4), (2.13) или (2.15), из (2.16) можно получить решение задачи с точностью до постоянных интегрирования, которые определятся из условий закрепления пластинки.

Для конкретности принимается

$$\alpha = 0{,}0005$$
 1/rpag, $\delta = 8$, $T_1 = 200^{\circ}\text{C}$, $T_2 = 0^{\circ}\text{C}$, $\mu = 0{,}35$ (4.22) $\beta = 2{,}55 \times 10^{-5}$, $\epsilon = 0{,}2$, $\gamma = 0{,}2$

и продолжение решения приводится для контурных условий

при
$$r = R$$
, $z = 0$ $u = w = M_r = 0$ (4.23)

при трех значениях k (k = 10; 1; 0,1).

а) при k=10, учитывая (4.22) и (4.23), окончательно получим

$$u = 1,071 \times 10^{-4} \left[\left(\frac{r}{R} \right)^{0,7298} - \left(\frac{r}{R} \right)^{0,8103} \right] R,$$

$$w = -\left\{ 1,336 + \frac{r}{R} \left[0,5100 \left(\frac{r}{R} \right)^{0,7298} - 1,846 \left(\frac{r}{R} \right)^{0,8103} \right] \right\} \frac{R^2}{h} \times 10^{-4},$$

$$M_r = Eh^2 \left[0,06002 + \left(\frac{r}{R} \right)^{-1} \left[0,01947 \left(\frac{r}{R} \right)^{0,7298} - 0,07949 \left(\frac{r}{R} \right)^{0,8103} \right].$$

В таблице 1 приведены значения $\frac{u}{R} \times 10^4$, $\frac{h}{R^2} w \times 10^4$ и $\frac{M_r}{Eh^2}$

для некоторых значений $\frac{r}{R}$

	101		Таблица
r	# × 10°	$w \stackrel{h}{=} \times 10^4$	M_r
R	R	R^2	Eh*
0,0	0.0	-1,336	00
0.2	0.04021	-1,267	-0,01793
0.4	0,03903	-1.089	-0.009620
0.6	0.02972	-0.8146	-0,005204
0.8	0.01620	-0.4502	-0.002228
1,0	0.0	0.0	0,0

⁶⁾ при k=1, учитывая (4.22) и (4.23), окончательно получим

$$u = 0,$$

$$w = -1,054 \times 10^{-4} \left[1 - \left(\frac{r}{R} \right)^2 \right] \frac{R^2}{h},$$

$$M_r = 0.$$

В таблице 2 приведены значения $\frac{h}{R^2} \, w imes 10^4$ для некоторых значений $\frac{r}{R}$

в) при k=0,1, учитывая (4.22) и (4.23), окончательно получим

$$u = -0.4583 \times 10^{-4} \left(\frac{r}{R}\right)^{2} \left[\left(\frac{r}{R}\right)^{0.1291} - \left(\frac{r}{R}\right)^{0.4037} \right] R,$$

$$w = -\left\{ 0.3473 - \left(\frac{r}{R}\right)^{3} \left[0.4599 \left(\frac{r}{R}\right)^{0.1291} - 0.1126 \left(\frac{r}{R}\right)^{0.4037} \right] \right\} \frac{R^{2}}{h} \times 10^{-4},$$

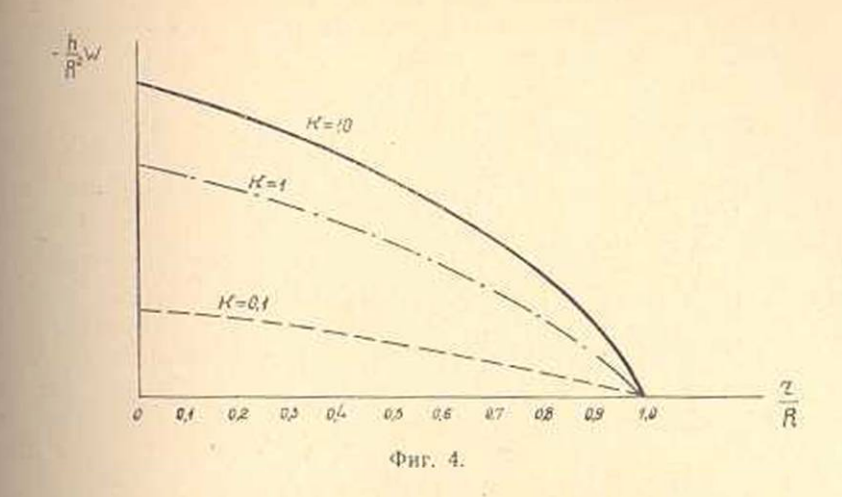
$$M_{r} = Eh^{2} \left\{ 0.06002 - \frac{r}{R} \left[0.08522 \left(\frac{r}{R}\right)^{0.1291} - 0.02520 \left(\frac{r}{R}\right)^{0.4037} \right] \right\}.$$

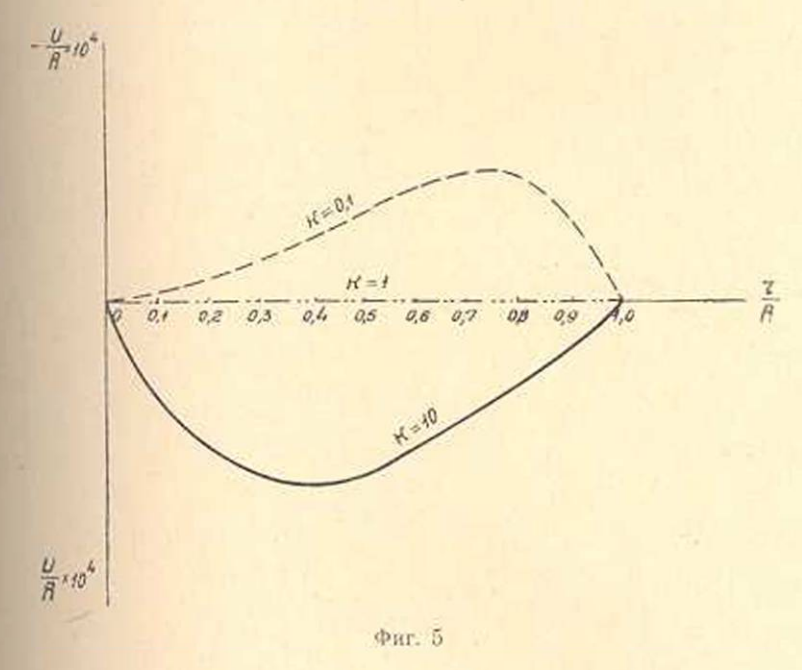
В таблице 3 приведены значения $\frac{u}{R} \times 10^4$, $\frac{h}{R^2}$ w \times 10^4 и $\frac{M_r}{Eh^2}$ для некоторых значений $\frac{r}{R}$

			Таблица 3
r	<u>u</u> × 10*	$\frac{h}{w} \times 10^4$	M_r
R	R	R2	Eh2
0,0	0.0	-0.3473	0,06002
0.2	-0,005~20	-0,3448	0.04881
0.4	-0.01449	-0.3261	0.03670
0.6	-0.02022	-0.2741	0.62445
0,8	-0,01694	-0.1712	0.01220
1.0	0,0	0.0	0.0

Ниже, для наглядности, приводятся графики $\frac{u}{R}$, $\frac{h}{R^2}$ w и $\frac{M_r}{Eh^2}$ для значений $k=10;\ 1;\ 0,1\ (фиг.\ 4,\ 5,\ 6).$

Пример № 5. Рассматривается однослойная ортотропная круглая пластинка радиуса R, находящаяся под воздействием температуры





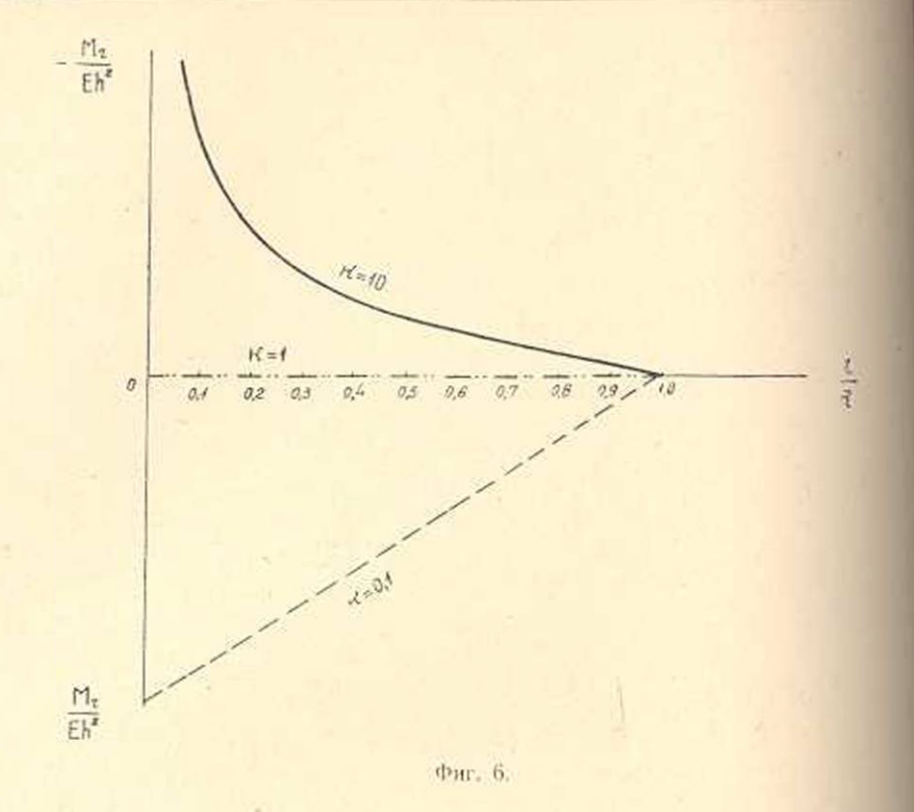
изменяющейся по (3.1), при контурных условиях (4.11). В силу осесимметричности должны быть выполнены также условия (4.2).

Зависимость модулей упругости от температуры принимается по (3.2). Коэффициенты Пауссона и температурного расширения считаются не зависящими от температуры.

Для определенности приняв

$$n_1 > 0$$
, $n_2 < 0$, $a_7 \neq 2$, (4.24)

из (3.7)—(3.9) получим значения и и w



$$\begin{split} u &= C_1 r^{n_1} + C_2 r^{n_2} + \beta \left[\omega + \gamma \frac{k \left(1 + \alpha \gamma \right) - \mu_1}{k - 1 + \alpha \gamma \left(k + \mu_1 \right)} \right] r - \beta \gamma r \ln \frac{r}{r} + \\ &+ \frac{\alpha \lambda h \cosh \frac{\alpha \lambda h}{2} - 2 \sinh \frac{\alpha \lambda h}{2}}{\alpha^2 \lambda^2 h^2 - 4 \sinh^2 \frac{\alpha \lambda h}{2}} i \times \\ &\times \frac{\alpha^2 \lambda^2 \left(k - \mu_1^2 \right) \rho^{\alpha \gamma} e^{\alpha \omega}}{E_1 \left[k - 1 - \alpha \gamma \left(k - \mu_1 \right) \right] C_6 r^{1 - \alpha \gamma}}, \\ w &= \frac{C_3}{1 + n_1} r^{1 + n_1} + \frac{C_4}{1 + n_2} r^{1 + n_2} + C_5 + \frac{\beta \lambda}{2} r^2 + \\ &+ \frac{\sinh \frac{\alpha \lambda h}{2}}{\alpha^2 \lambda^2 h^2 - 4 \sinh^2 \frac{\alpha \lambda h}{2}} \cdot \frac{2\alpha^3 \lambda^3 \left(k - \mu_1^2 \right) \rho^{\alpha \gamma} e^{\alpha \omega}}{E_1 \left[k - 1 - \alpha \gamma \left(k - \mu_1 \right) \right] \left(2 - \alpha \gamma \right)} C_6 r^{2 - \alpha \gamma}. \end{split}$$

Из (4.25), учитывая (4.2), (4.11), а также принимая во внимание односвязность контура пластинки (см. сноску к формулам 1.8), насдем значения постоянных интегрирования

$$\begin{split} C_1 &= \beta R^{1-n_1} \bigg[\gamma \ln \frac{R}{\rho} - \omega - \gamma \, \frac{k \, (1+\alpha\gamma) - \mu_1}{k-1+\alpha\gamma \, (k+\mu_1)}, \qquad C_2 = 0, \\ C_3 &= -\beta \lambda R^{1-n_1}, \qquad \qquad C_4 = 0, \\ C_5 &= \frac{\beta \lambda R^2}{2} \cdot \frac{1-n_1}{1+n_1}, \qquad \qquad C_6 = 0. \end{split}$$

Следовательно,
$$u_r = \beta \left\{ \gamma \left(R^{1-a_1} r^{n_1} \ln \frac{R}{\varrho} - r \ln \frac{r}{\varrho} \right) - \left[\omega + \gamma \frac{k \left(1 + \alpha \gamma \right) - \mu_1}{k - 1 + \alpha \gamma \left(k + \mu_1 \right)} \right] \times \right. \\ \left. \times \left(R^{1-a_1} r^{n_1} - r \right) + \lambda \left(R^{1-n_1} r^{n_1} - r \right) z \right\},$$

$$\left. \times \left(R^{1-a_1} r^{n_1} - r \right) + \lambda \left(R^{1-n_1} r^{n_1} - r \right) z \right\},$$

$$\left. \times \left(R^{1-a_1} r^{n_1} - r \right) + \lambda \left(R^{1-n_1} r^{n_1} - r \right) z \right\},$$

$$\left. \times \left(R^{1-a_1} r^{n_1} - r \right) + \lambda \left(R^{1-n_1} r^{n_1} - r \right) z \right\},$$

$$\left. \times \left(R^{1-a_1} r^{n_1} - r \right) \right\},$$

$$\left. \times \left(R^{1-a_1} r^{n_1} - r \right) \right\},$$

$$\left. \times \left(R^{1-a_1} r^{n_1} - r \right) \right\},$$

$$\left. \times \left(R^{1-a_1} r^{n_1} - r \right) \right\},$$

$$\left. \times \left(R^{1-a_1} r^{n_1} - r \right) \right\},$$

$$\left. \times \left(R^{1-a_1} r^{n_1} - r \right) \right\},$$

$$\left. \times \left(R^{1-a_1} r^{n_1} - r \right) \right\},$$

$$\left. \times \left(R^{1-a_1} r^{n_1} - r \right) \right\},$$

$$\left. \times \left(R^{1-a_1} r^{n_1} - r \right) \right\},$$

$$\left. \times \left(R^{1-a_1} r^{n_1} - r \right) \right\},$$

$$\left. \times \left(R^{1-a_1} r^{n_1} - r \right) \right\},$$

$$\left. \times \left(R^{1-a_1} r^{n_1} - r \right) \right\},$$

$$\left. \times \left(R^{1-a_1} r^{n_1} - r \right) \right\},$$

$$\left. \times \left(R^{1-a_1} r^{n_1} - r \right) \right\},$$

$$\left. \times \left(R^{1-a_1} r^{n_1} - r \right) \right\},$$

$$\left. \times \left(R^{1-a_1} r^{n_1} - r \right) \right\},$$

$$\left. \times \left(R^{1-a_1} r^{n_1} - r \right) \right\},$$

$$\left. \times \left(R^{1-a_1} r^{n_1} - r \right) \right\},$$

$$\left. \times \left(R^{1-a_1} r^{n_1} - r \right) \right\},$$

$$\left. \times \left(R^{1-a_1} r^{n_1} - r \right) \right\},$$

$$\left. \times \left(R^{1-a_1} r^{n_1} - r \right) \right\},$$

$$\left. \times \left(R^{1-a_1} r^{n_1} - r \right) \right\},$$

$$\left. \times \left(R^{1-a_1} r^{n_1} - r \right) \right\},$$

$$\left. \times \left(R^{1-a_1} r^{n_1} - r \right) \right\},$$

$$\left. \times \left(R^{1-a_1} r^{n_1} - r \right) \right\},$$

$$\left. \times \left(R^{1-a_1} r^{n_1} - r \right) \right\},$$

$$\left. \times \left(R^{1-a_1} r^{n_1} - r \right) \right\},$$

$$\left. \times \left(R^{1-a_1} r^{n_1} - r \right) \right\},$$

$$\left. \times \left(R^{1-a_1} r^{n_1} - r \right) \right\},$$

$$\left. \times \left(R^{1-a_1} r^{n_1} - r \right) \right\},$$

$$\left. \times \left(R^{1-a_1} r^{n_1} - r \right) \right\},$$

$$\left. \times \left(R^{1-a_1} r^{n_1} - r \right) \right\},$$

$$\left. \times \left(R^{1-a_1} r^{n_1} - r \right) \right\},$$

$$\left. \times \left(R^{1-a_1} r^{n_1} - r \right) \right\},$$

$$\left. \times \left(R^{1-a_1} r^{n_1} - r \right) \right\},$$

$$\left. \times \left(R^{1-a_1} r^{n_1} - r \right) \right\},$$

$$\left. \times \left(R^{1-a_1} r^{n_1} - r \right) \right\},$$

$$\left. \times \left(R^{1-a_1} r^{n_1} - r \right) \right\},$$

$$\left. \times \left(R^{1-a_1} r^{n_1} - r \right) \right\},$$

$$\left. \times \left(R^{1-a_1} r^{n_1} - r \right) \right\},$$

$$\left. \times \left(R^{1-a_1} r^{n_1} - r \right) \right\},$$

$$\left.$$

$$+ (1 + \mu_1) (A_2 \omega - A_3 \lambda - A_5) r^{\alpha_1}$$

В заключение отметим, что решения широкого круга конкретных осесимметричных температурных задач круглой ортотропной пластинки (например: при упругих постоянных, не зависящих от температуры, при различных условиях изменения температуры, при наличии круглого отверстия посередине пластинки и т. д.) можно получить как частные случаи приведенных в работе результатов.

Институт математики и механики. АН Армянской ССР.

Поступила 9 I 1960

U. W. Trurquepuli

ՕՐՔՈՏՐՈՊ ԿԼՈՐ ԹԻԹԵՂԻ ԱՌԱՆՑՔԱՍԻՄԵՏՐԻԿ ՋԵՐՄԱՅԻՆ ԽՆԴԻՐ

UUTOOOONU

Գլանային կորդինատային r, 0, z առանցքների սիստեմում դիտարկված է օրթոտրոպ շերտավոր կլոր թիթնեղի առանցքասիմետրիկ ջերմային խնդիրը, երբ Յունդի մոդուլը, Պուասսոնի և ջերմային ընդարձակման դործակիցները փոփոխվում են կախված ջերմաստիճանից, որը հայտնի ֆունկցիա է r և z-ից։

Ամենաընդծանուր դեպքի ծամար ստացված է փոփոխական դործակիցներով դիֆերենցիալ հավասարունների (1.9) սիստեմը։

Դիտված են դեպքեր, երբ՝

ա) ջերմասաիճանը չառավղի ուղղությամբ չի փոփոխվում, իսկ ըստ հաստության փոփոխվում է կամալական օրենքով,

ե) ձրնդասարջարն ըրնկանանվաց է սնաիս հասավմին վախվաց նսմա-

նինդարույ, ը նոա չառաանքար ժգանը ֆարրքնիարրեն ժաղան։

Տարրեր եղբալին պարմանների համար լուծված են օրինակներ։

ЛИТЕРАТУРА

1. Лехницкий С. Г. Анизотропные пластинки. Гостехиздат, М., 1957.

- Амбарцумян С. А. Температурные напряжения в слоистых анизотропных обомках. "Изв. АН АрмССР (серия физ.-мат. наук)", 5, № 6, 1952.
- 3. Лейбензон Л. С. Курс теорин упругости. Гостехиздат, М.-Л., 1947.
- Новожилов В. В. Теория упругости. Гос. союзное издательство судостроительной промышленности, 1958.
- Вольмир А. С. Гибкие пластники и оболочки. Гос. издательство технико-теорет, литературы, М., 1956.
- 6. Тимошенко С. П. Пластинки и оболочки. Гостехиздат, М.-.Л., 1948.
- 7. Смирнов В. И. Курс высшей математики, т. П. Гостехиздат, М.-Л., 1948.
- Дургарьян С. М. Температурный расчет ортотронной слонстой пластинки при увругих постоянных и коэффициенте температурного расширения, зависящих от температуры. "Изв. АН АрмССР (серия физ.-мат. наук)", 13. № 2, 1960.